

Leistungsfähigkeit von Knotenpunkten an der B 299

(zu Bebauungsplan "050 – Habersmühle I")

Neumarkt i.d.OPf.

Leistungsfähigkeit von Knotenpunkten an der B 299

(zu Bebauungsplan "050 – Habersmühle I")

Neumarkt i.d.OPf.

23.09.2020

Auftraggeber

Stadt Neumarkt i.d.OPf. Stadtplanungsamt Ansprechpartner: Herr Tassilo Schwedux

Telefon: 09181 / 255 1605 Telefax: 09181 / 255 201 tassilo.schwedux@neumarkt.de

Auftragnehmer

R+T Verkehrsplanung GmbH Julius-Reiber-Straße 17 64293 Darmstadt Telefon: 06151 / 2712 0

Telefax: 06151 / 2712 20 darmstadt@rt-verkehr.de

www.rt-verkehr.de

Bearbeitung durch:

Projektleitung Dipl.-Ing. Matthias Müller

Hinweis:

In allen von R+T verfassten Texten wird aus Gründen der besseren Lesbarkeit auf eine geschlechtsspezifische Unterscheidung verzichtet. Es sind stets alle Menschen jeden Geschlechts gleichermaßen gemeint.

Alle Inhalte dieses Berichts, insbesondere Texte, Fotografien und Grafiken, sind urheberrechtlich geschützt. Das Urheberrecht liegt, soweit nicht ausdrücklich anders gekennzeichnet, bei R+T Verkehrsplanung GmbH.



Inhalt

1	Aufgabenstellung	1
2	Verkehrserhebung	1
3	Verkehrsaufkommen - Prognose	1
4	Leistungsfähigkeit des Gebietsanschlusses	1
5	Leistungsfähigkeit Knotenpunkt B 299 / B 299a	2
Ver z	eichnisse	4

i



1 Aufgabenstellung

Für das Gebiet des Bebauungsplans "050 – Habersmühle I" muss eine ausreichende Leistungsfähigkeit im Anschlussknotenpunkt an die B 299 sowie im südwestlich gelegenen Knotenpunkt B 299 / B 299a gewähreistet sein. Da für diese Knotenpunkte keine verwendbaren aktuellen Verkehrszählungen vorliegen, wurde eine Knotenstromzählung in der 37. KW 2020 durchgeführt.

Für das Gebiet des Bebauungsplans wird das durch die neuen Nutzungen erzeugte Kfz-Verkehrsaufkommen ermittelt.

Auf der Grundlage der Zählergebnisse und des resultierenden Prognoseverkehrs des Bebauungsplangebiets wird die Leistungsfähigkeit der genannten Knotenpunkte geprüft.

2 Verkehrserhebung

Am Donnerstag, den 10.09.2020, wurde die Verkehrsbelastung der o. g. Knotenpunkte in der Zeit zwischen 06.00 Uhr und 10.00 Uhr sowie zwischen 15.00 Uhr und 19.00 Uhr per Videoerfassung erhoben. Die Ergebnisse dazu sind in den **Anlagen 1 und 2** dargestellt.

3 Verkehrsaufkommen - Prognose

Für die neuen Nutzungen im Gebiet des Bebauungsplans wurde das Kfz-Verkehrsaufkommen für einen Werktag ermittelt und daraus die maßgebenden Kfz-Verkehrsbelastungen im Anschlussknotenpunkt B 299 / Haberslehla für die Spitzenstunden (Vormittag, Nachmittag) berechnet. Details dazu sind den **Anlagen 3 und 4** zu entnehmen.

Für die Prognosebelastung wird ein Zuschlag von 10 % auf die Knotenpunktströme einbezogen.

4 Leistungsfähigkeit des Gebietsanschlusses

Das Gebiet des Bebauungsplans "050 – Habersmühle I" wird über die Straße Haberslehla an das übergeordnete Straßennetz (B 299) angebunden. Der Knotenpunkt ist heute vorfahrtgeregelt. Die Berechnung der Leistungsfähigkeit des Anschlusses für die vormittägliche und die nachmittägliche Spitzenstunde wird daher für diese Anbindungsform durchgeführt. Der Knotenpunkt hat im derzeitigen Ausbaustandard eine gute Leistungsfähigkeit und muss nicht signalisiert werden. Die erreichbare Stufe der Verkehrsqualität liegt für den Knotenpunkt – sowohl für vormittägliche als auch für die nachmittägliche Spitzenstunde – bei C, was insgesamt eine befriedigende Leistungsfähigkeit



bedeutet. Maßgebend dafür ist der linkseinbiegende Strom aus Haberslehla in die B 299, alle anderen Knotenströme liegen in der Stufe A oder B.

Details zur Berechnung der Leistungsfähigkeit sind in den **Anlagen 5 und 6** enthalten.

5 Leistungsfähigkeit Knotenpunkt B 299 / B 299a

Südwestlich des Gebietsanschlusses liegt ein weiterer Knotenpunkt, dessen Leistungsfähigkeit für den weiteren Ausbau der Gebietsnutzungen entlang der B 299 maßgebend ist.

Es handelt sich dabei um die Verbindung zwischen der B 299 zur Autobahn A 3 über die B 299a. Im Grund ist dies ein dreiarmiger, signalisierter Knotenpunkt, wobei jedoch im Osten ein vierter Knotenpunktarm in Form eines landwirtschaftlichen Wegs angebunden ist. Dieser Weg weist nur ab und zu Fahrten von überwiegend landwirtschaftlichen Fahrzeugen auf.

Die maßgebende Kfz-Verkehrsbelastung für den Knotenpunkt (vormittägliche und nachmittägliche Spitzenstunde) ist in den **Anlagen 7 und 8** dargestellt.

Die Ergebnisse zu den Ermittlungen der Leistungsfähigkeit des Knotenpunkts mit dem Programm AMPEL ist in den **Anlagen 9 und 10** enthalten.

Dazu sind die folgenden Anmerkungen und Empfehlungen festzuhalten:

- Insgesamt ist für den Knotenpunkt sowohl für die vormittägliche als auch für die nachmittägliche Spitzenstunde – eine Verkehrsqualität der Stufe D zu erreichen, d. h. der Knotenpunkt hat eine ausreichende Leistungsfähigkeit.
- In der Wahl der Phasen und der Phasenfolge ist in den Berechnungen eine vierphasige Schaltung der Signalanlage berücksichtigt. Der angebundene landwirtschaftliche Weg erhält hier eine eigene Phase. Bei Berücksichtigung einer verkehrsabhängigen Steuerung der Signalanlage kann diese Zufahrt auf "Anforderung" geschaltet werden, so dass dadurch eine noch bessere Leistungsfähigkeit des Knotenpunkts erreicht werden kann als im dargestellten Programm.
- Besonders zu bewerten ist die Notwendigkeit eines eigenen Fahrstreifens für den rechtsabbiegenden Strom von der B 299 (von Norden) zur B 299a in Richtung Autobahn A 3. Die Forderung dafür wurde bereits von beteiligten Ämtern gestellt. Im dargestellten Signalprogramm (mit kombiniertem Fahrstreifen geradeaus-rechts) ergibt sich für den Geradeausstrom auf der B 299 von Norden in Richtung Neumarkt eine Rückstaulänge von rund 170 Metern. Dies bedeutet, dass der Rechtsabbiegestreifen mindestens die gleiche Länge haben müsste, damit rechtsabbiegende Fahrzeuge ungehindert vom Geradeausverkehr zu ihrem Signalgeber fahren könnten. In Anbetracht der ermittelten, eher geringen Anzahl der



rechtsabbiegenden Fahrzeuge erscheint die Einrichtung eines derart langen Abbiegestreifens als nicht angemessen im Vergleich zum erforderlichen Flächenverbrauch und zu den resultierenden Baukosten. Bereits heute ist der Untergrund im Seitenraum über eine Länge von rund 50 Metern mit Schotter provisorisch befestigt, um den Rechtsabbiegern einen Vorteil zu bieten. Es wird empfohlen, diesen Bereich als befestigten Fahrstreifen auszubauen.



Verzeichnisse

Anlagen

Anlage 1 Verkehrsmengen Bestand

Ergebnisse der Verkehrszählung vom 10.09.2020 Knotenpunkt **B 299 / Haberslehla**

- 1.1 Vormittägliche Spitzenstunde Werktag
- 1.2 Nachmittägliche Spitzenstunde Werktag
- 1.3 Gesamte Zählzeit

Anlage 2 Verkehrsmengen Bestand

Ergebnisse der Verkehrszählung vom 10.09.2020 Knotenpunkt **B 299 / B 299a**

- 2.1 Vormittägliche Spitzenstunde Werktag
- 2.2 Nachmittägliche Spitzenstunde Werktag
- 2.3 Gesamte Zählzeit

Anlage 3 Maßgebende Kfz-Verkehrsbelastung Prognose

Knotenpunkt **B 299 / Haberslehla** Vormittägliche Spitzenstunde

Anlage 4 Maßgebende Kfz-Verkehrsbelastung Prognose

Knotenpunkt **B 299 / Haberslehla** Nachmittägliche Spitzenstunde

Anlage 5 Leistungsfähigkeit nach HBS

Knotenpunkt **B 299 / Haberslehla** Vormittägliche Spitzenstunde

- 5.1 Formblatt L5-1a
- 5.2 Formblatt L5-1b
- 5.3 Formblatt L5-1c



Anlage 6 Leistungsfähigkeit nach HBS

Knotenpunkt **B 299 / Haberslehla** Nachmittägliche Spitzenstunde

- 6.1 Formblatt L5-1a
- 6.2 Formblatt L5-1b
- 6.3 Formblatt L5-1c

Anlage 7 Maßgebende Kfz-Verkehrsbelastung Prognose

Knotenpunkt **B 299 / B 299a** Vormittägliche Spitzenstunde

Anlage 8 Maßgebende Kfz-Verkehrsbelastung Prognose

Knotenpunkt **B 299 / B 299a** Nachmittägliche Spitzenstunde

Anlage 9 Leistungsfähigkeit mit Programm AMPEL

Knotenpunkt **B 299 / B 299a** Vormittägliche Spitzenstunde

- 9.1 Formblatt 1 HBS 2015
- 9.2 Formblatt 2 HBS 2015
- 9.3 Formblatt 3 HBS 2015
- 9.4 Signalzeitenplan
- 9.5 Signalgruppen Tabelle
- 9.6 Signalgruppen Grafik

Anlage 10 Leistungsfähigkeit mit Programm AMPEL

Knotenpunkt **B 299 / B 299a** Nachmittägliche Spitzenstunde

- 10.1 Formblatt 1 HBS 2015
- 10.2 Formblatt 2 HBS 2015
- 10.3 Formblatt 3 HBS 2015
- 10.4 Signalzeitenplan

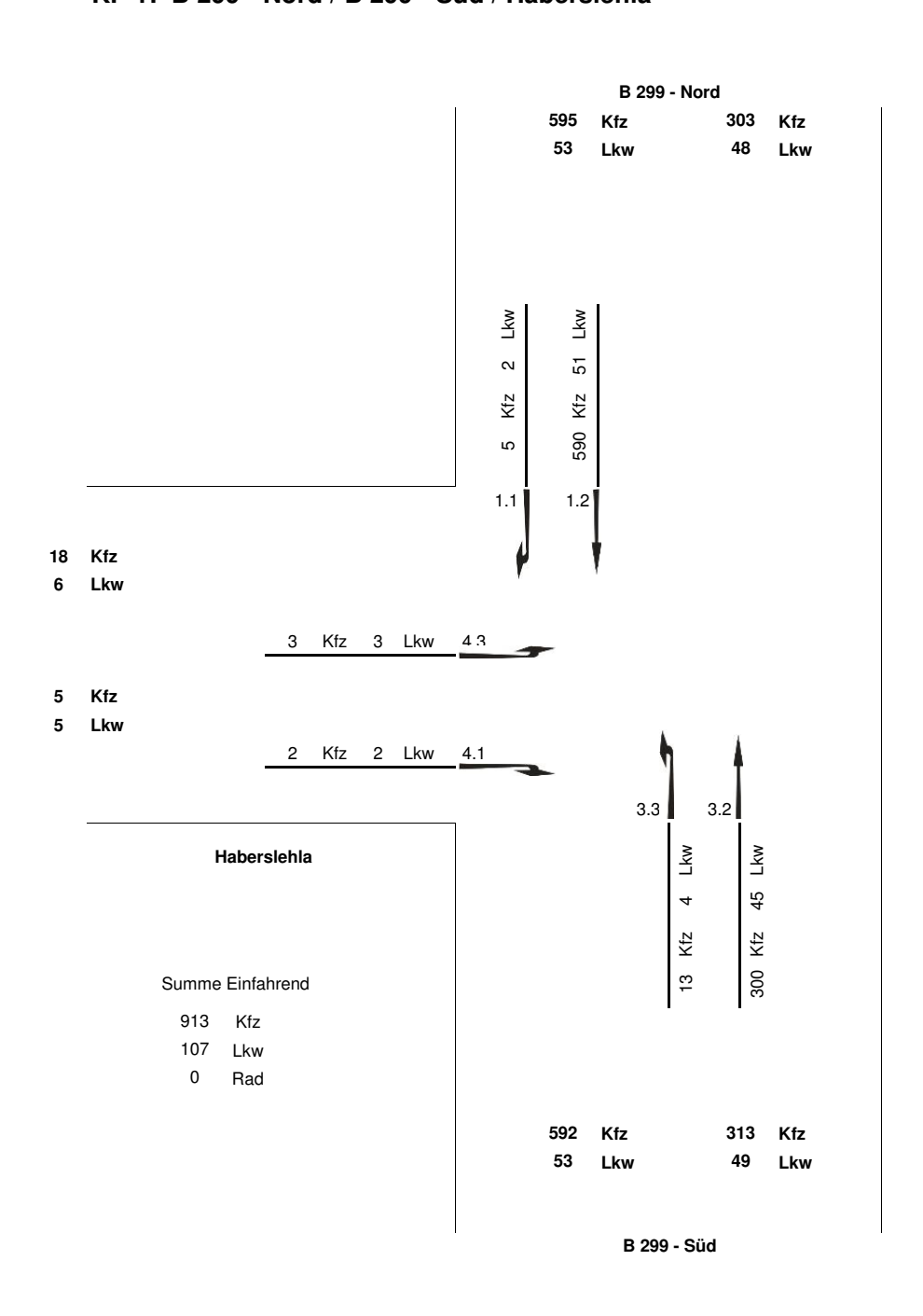


Anlage 1.1

Verkehrszählung in Neumarkt vom 10.09.2020

Spitzenstunde von 06:45 bis 07:45 Uhr

KP 1: B 299 - Nord / B 299 - Süd / Haberslehla



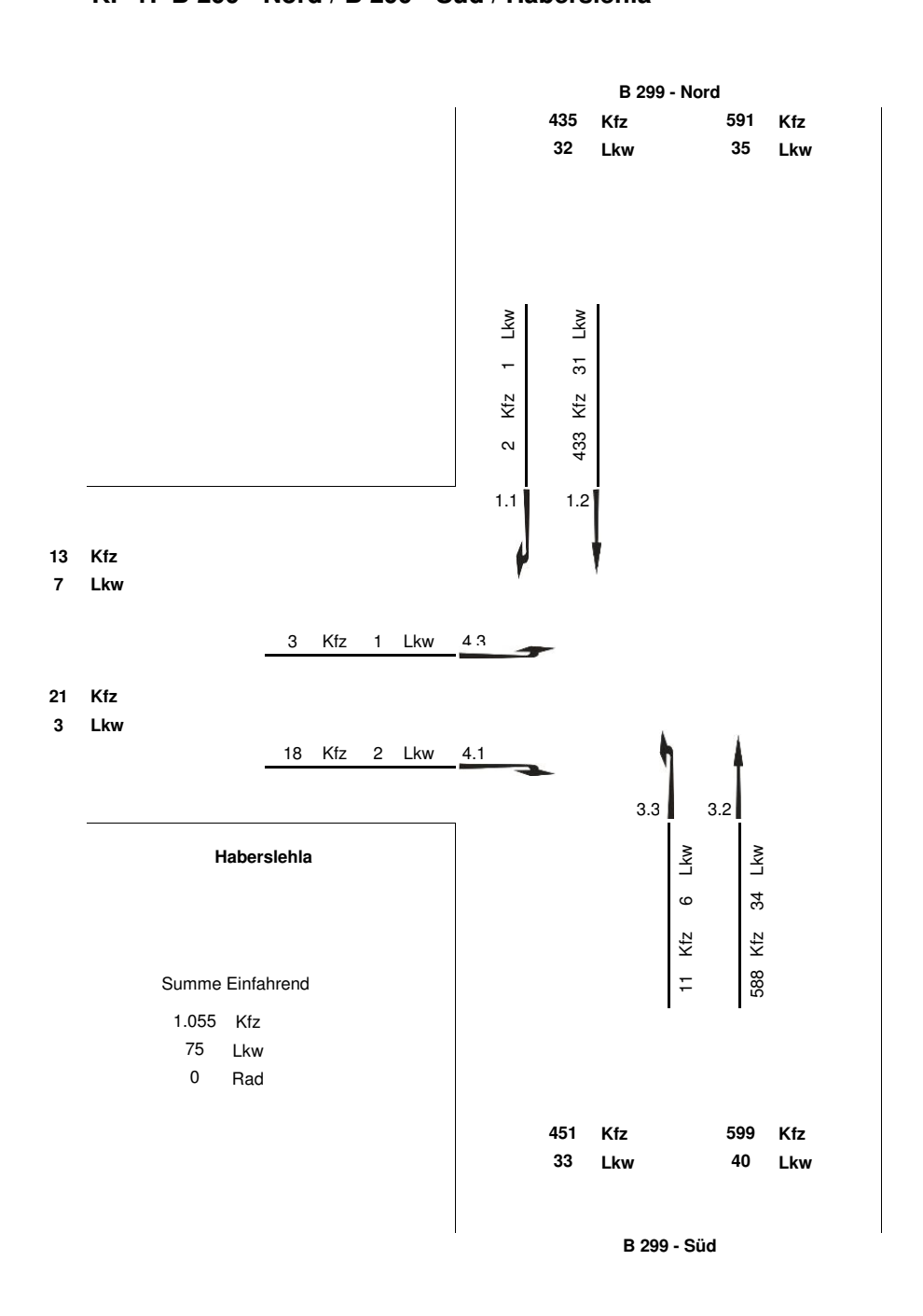


Anlage 1.2

Verkehrszählung in Neumarkt vom 10.09.2020

Spitzenstunde von 16:30 bis 17:30 Uhr

KP 1: B 299 - Nord / B 299 - Süd / Haberslehla



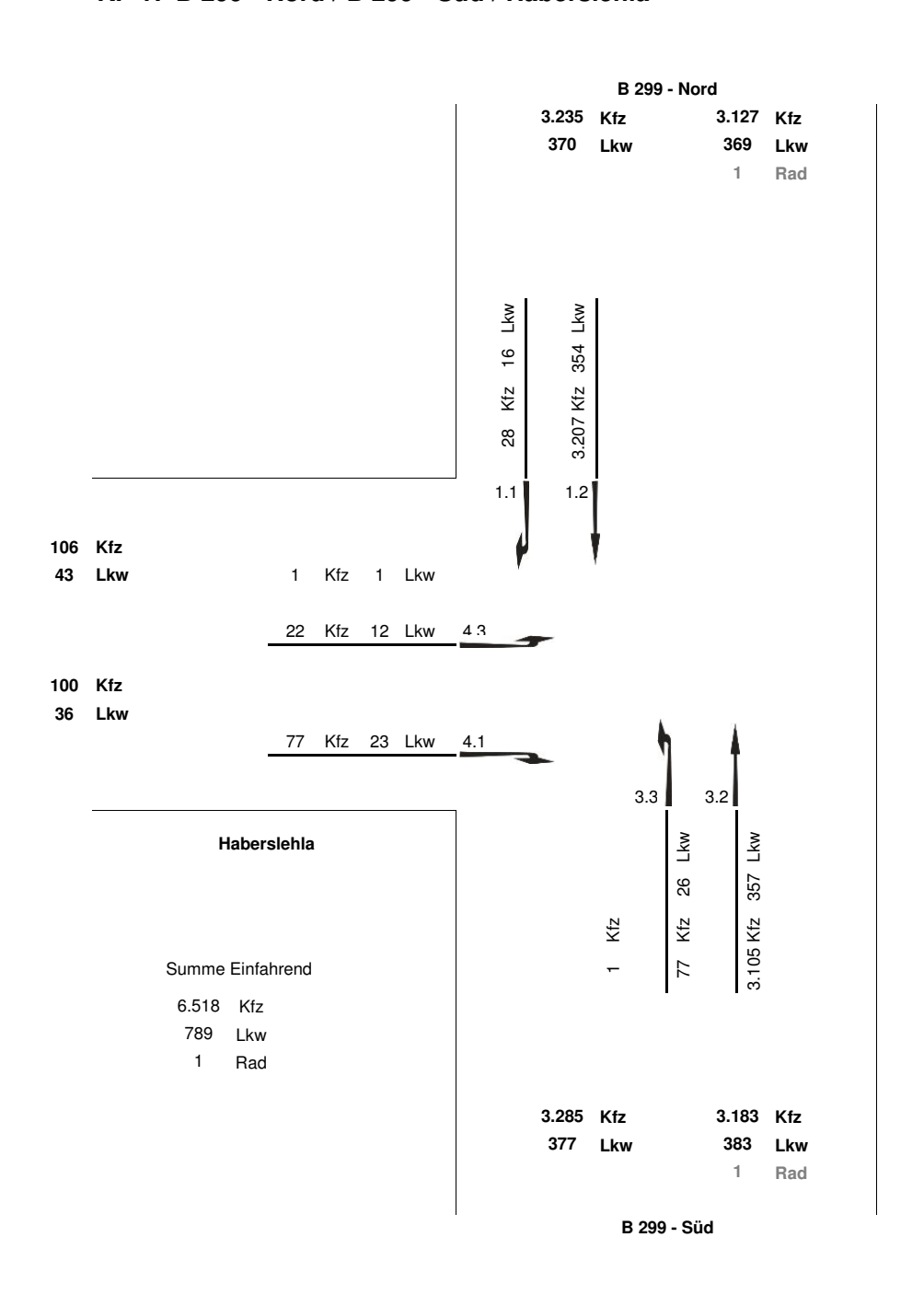


Anlage 1.3

Verkehrszählung in Neumarkt vom 10.09.2020

Gesamtmenge von 06:00 bis 10:00 Uhr und 15:00 bis 19:00 Uhr

KP 1: B 299 - Nord / B 299 - Süd / Haberslehla



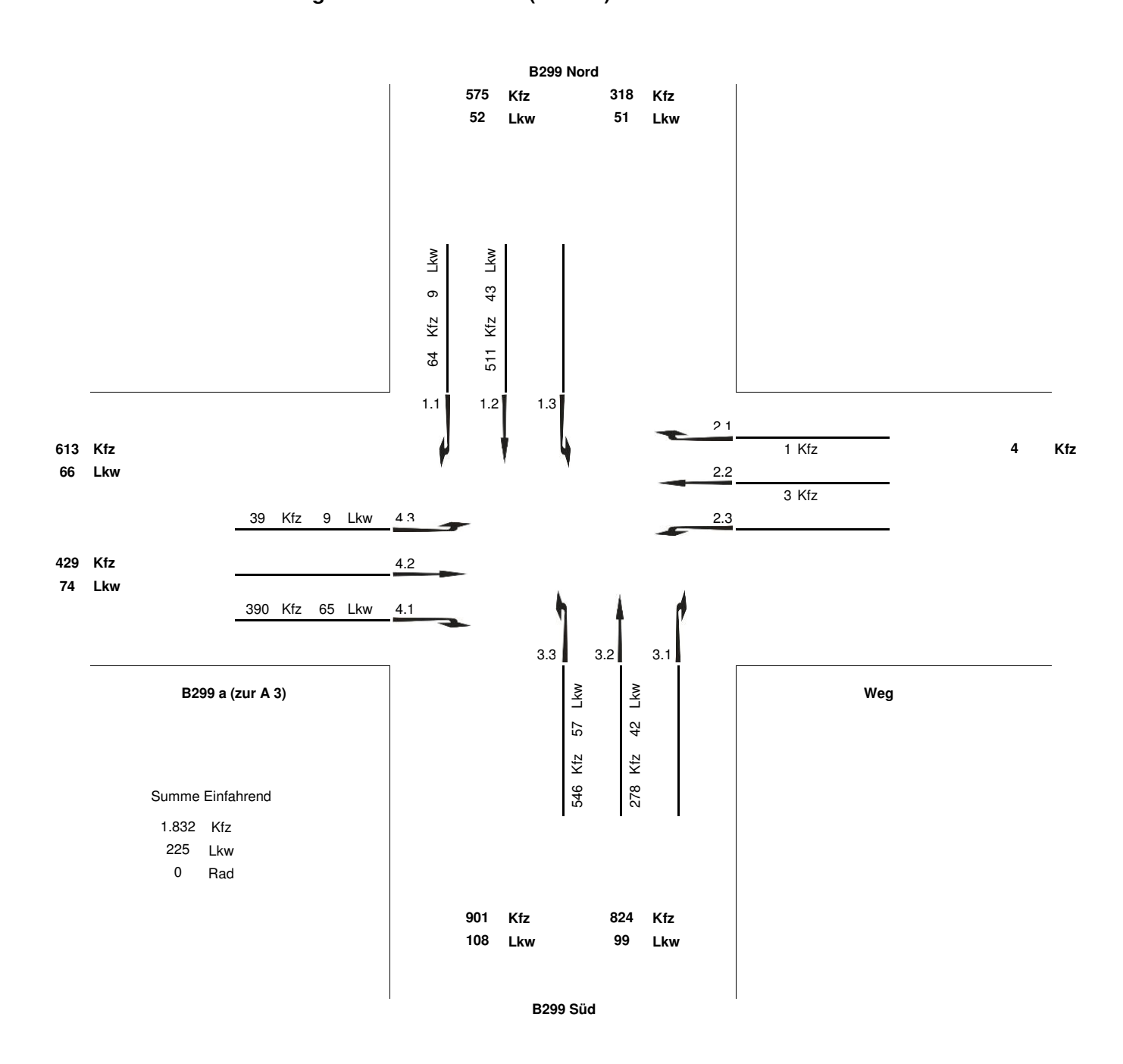


Anlage 2.1

Verkehrszählung in Neumarkt vom 10.09.2020

Spitzenstunde von 06:45 bis 07:45 Uhr

KP 2: B299 Nord / Weg / B299 Süd / B299 a (zur A 3)



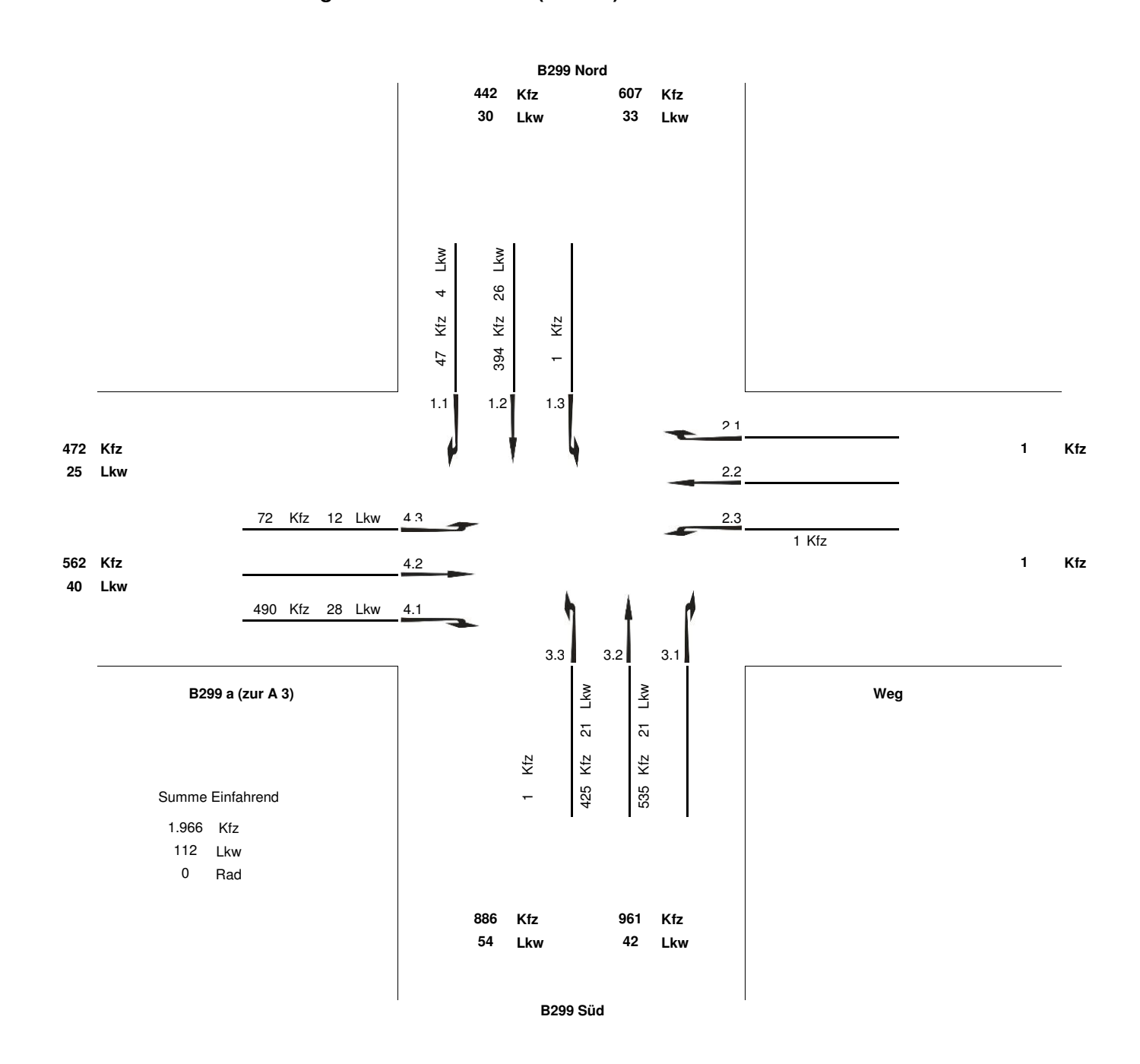


Anlage 2.2

Verkehrszählung in Neumarkt vom 10.09.2020

Spitzenstunde von 16:45 bis 17:45 Uhr

KP 2: B299 Nord / Weg / B299 Süd / B299 a (zur A 3)



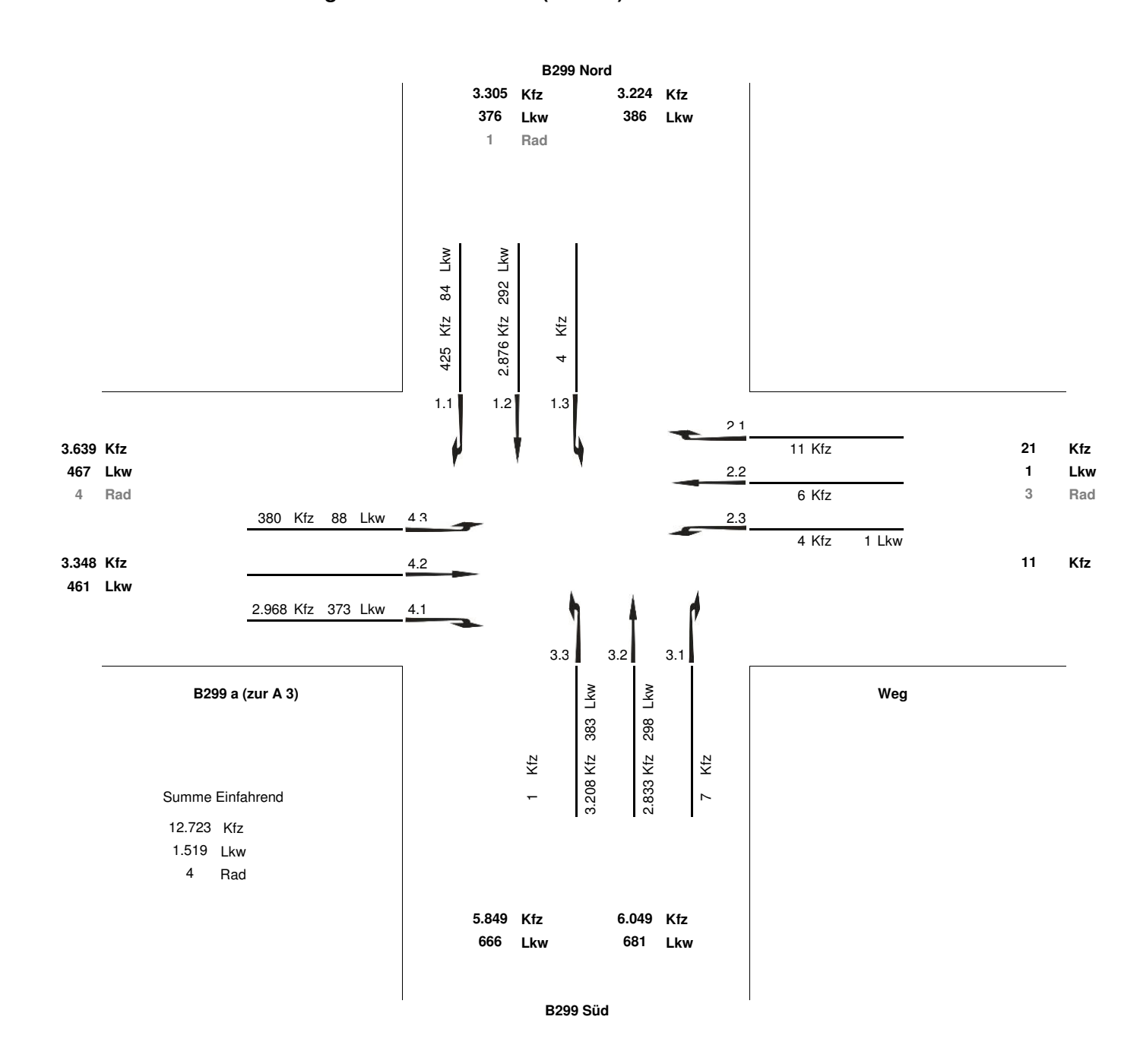


Anlage 2.3

Verkehrszählung in Neumarkt vom 10.09.2020

Gesamtmenge von 06:00 bis 10:00 Uhr und 15:00 bis 19:00 Uhr

KP 2: B299 Nord / Weg / B299 Süd / B299 a (zur A 3)

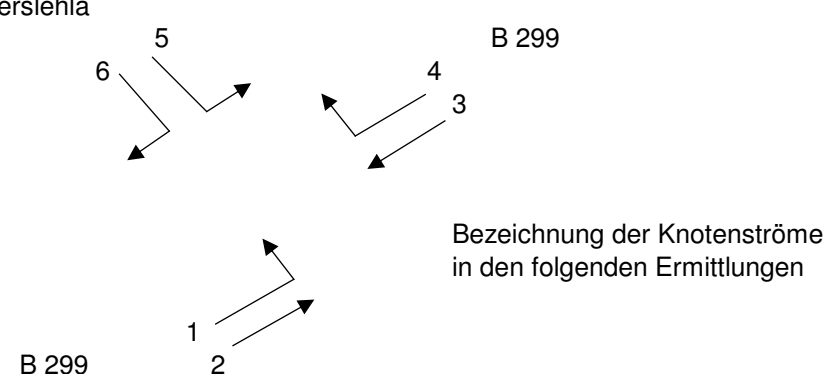




Vorbereitung zur Berechnung der Leistungsfähigkeit der Einmündung Haberslehla in die B 299

Vormittägliche Spitzenstunde

Haberslehla



Grundlagen:

- Kfz-Verkehrsbelastungen B 299
 Verkehrszählung von R+T am 10.09.2020
- Verkehrszahlen zu neuen Nutzungen Habersmühle Fuchs & Söhne Holding GmbH (E-Mail von Herrn Tobias Kugler, 13.08.2020)
- Fa. Bader, Verkauf, Reperatur und Lagerung von Zweirädern Stellungnahme Fachstelle Immissionsschutz, Stadt Neumarkt (E-Mail von Herrn Tassio Schwedux, 18.08.2020)

Maßgebendes Kfz-Verkehrsaufkommen

Kfz-Verkehrsbelastung (Grundlage aus Zählung vom 10.09.2020)

		Prognosefaktor	1,1
BESTAND Strom 1 davon SV	9 Pkw/h 4 Lkw/h	PROGNOSE Strom 1 davon SV	10 Pkw/h 4 Lkw/h
Strom 2	255 Pkw/h	Strom 2	281 Pkw/h
davon SV	45 Lkw/h	davon SV	50 Lkw/h
Strom 3	539 Pkw/h	Strom 3	593 Pkw/h
davon SV	51 Lkw/h	davon SV	56 Lkw/h
Strom 4	3 Pkw/h	Strom 4	3 Pkw/h
davon SV	2 Lkw/h	davon SV	2 Lkw/h
Strom 5	0 Pkw/h	Strom 5	0 Pkw/h
davon SV	3 Lkw/h	davon SV	3 Lkw/h
Strom 6	0 Pkw/h	Strom 6	0 Pkw/h
davon SV	2 Lkw/h	davon SV	2 Lkw/h



Verkehrsaufkommen der Nutzungen im Gebiet Bebauungsplan Habersmühle

Tagesverkehr (Ziel- und Quellverkehr)

Mitarbeiter Pkw 377 Pkw/24h
Besucher Pkw 20 Pkw/24h
Transporter 18 Lkw/24h
Lkw 27 Lkw/24h

Abgeschätzte vormittägliche Spitzenstunde (Ziel- und Quellverkehr)

Mitarbeiter Pkw 50 Pkw/h
Besucher Pkw 5 Pkw/h
Transporter 5 Lkw/h
Lkw 10 Lkw/h

Vormittägliche Spitzenstunde: ungünstiger Fall, da linksabbiegender Strom 1

stark belastet

Annahme: Bezug Neumarkt / Autobahn 80% Bezug Pilsach 20%

Zielverkehr Spitzenstunde (Ströme 1 und 4)

Mitarbeiter Pkw 45 Pkw/h
Besucher Pkw 4 Pkw/h
Transporter 3 Lkw/h
Lkw 5 Lkw/h

Quellverkehr Spitzenstunde (Ströme 5 und 6)

Mitarbeiter Pkw 5 Pkw/h
Besucher Pkw 1 Pkw/h
Transporter 2 Lkw/h
Lkw 5 Lkw/h

===> Spitzenstunde Strom 1 39 Pkw/h

6 Lkw/h

Spitzenstunde Strom 4 10 Pkw/h

2 Lkw/h

Spitzenstunde Strom 6 5 Pkw/h

6 Lkw/h

Spitzenstunde Strom 5 1 Pkw/h

1 Lkw/h





Verkehrsaufkommen der Fa. Bader, Zweiräder

Da die Firma erst um 9 Uhr öffnet, werden keine Kundenfahrten für die vormittägliche Spitzenstunde angesetzt. Auch mit Lieferfahrten ist kaum zu rechnen. Es wird von 10 Mitarbeitern ausgegangen, die während der vormittäglichen Spitzenstunde zur Arbeit kommen

===> Spitzenstunde Strom 1 8 Pkw/h
Spitzenstunde Strom 4 2 Pkw/h

PROGNOSE

Knotenpunktbelastung in VORMITTÄGLICHEN SPITZENSTUNDE

Strom 1	•	Pkw/h Lkw/h
Strom 2		Pkw/h Lkw/h
Strom 3	000	Pkw/h Lkw/h
Strom 4	. •	Pkw/h Lkw/h
Strom 5	•	Pkw/h Lkw/h
Strom 6	•	Pkw/h Lkw/h

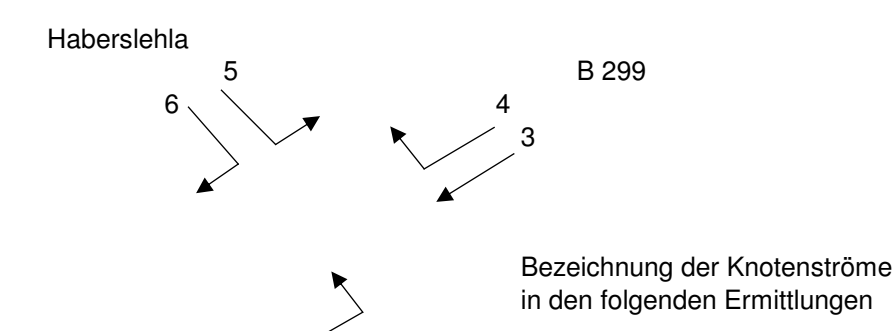
Anmerkung: Diese Strom

Diese Stromnummerierung stimmt NICHT mit der Nummerierung im Programm KNOBEL über ein.



Vorbereitung zur Berechnung der Leistungsfähigkeit der Einmündung Haberslehla in die B 299

Nachmittägliche Spitzenstunde



Grundlagen:

- Kfz-Verkehrsbelastungen B 299
 Verkehrszählung von R+T am 10.09.2020
- Verkehrszahlen zu neuen Nutzungen Habersmühle Fuchs & Söhne Holding GmbH (E-Mail von Herrn Tobias Kugler, 13.08.2020)
- Fa. Bader, Verkauf, Reperatur und Lagerung von Zweirädern Stellungnahme Fachstelle Immissionsschutz, Stadt Neumarkt (E-Mail von Herrn Tassio Schwedux, 18.08.2020)

Maßgebendes Kfz-Verkehrsaufkommen

B 299

Kfz-Verkehrsbelastung (Grundlage aus Zählung vom 10.09.2020)

		Prognosefaktor	1,1
BESTAND Strom 1 davon SV	5 Pkw/h 6 Lkw/h	PROGNOSE Strom 1 davon SV	6 Pkw/h 7 Lkw/h
Strom 2	554 Pkw/h	Strom 2	609 Pkw/h
davon SV	34 Lkw/h	davon SV	37 Lkw/h
Strom 3	402 Pkw/h	Strom 3	442 Pkw/h
davon SV	51 Lkw/h	davon SV	56 Lkw/h
Strom 4	1 Pkw/h	Strom 4	1 Pkw/h
davon SV	1 Lkw/h	davon SV	1 Lkw/h
Strom 5	2 Pkw/h	Strom 5	2 Pkw/h
davon SV	1 Lkw/h	davon SV	1 Lkw/h
Strom 6	16 Pkw/h	Strom 6	18 Pkw/h
davon SV	2 Lkw/h	davon SV	2 Lkw/h



Verkehrsaufkommen der Nutzungen im Gebiet Bebauungsplan Habersmühle

Tagesverkehr (Ziel- und Quellverkehr)

Mitarbeiter Pkw 377 Pkw/24h
Besucher Pkw 20 Pkw/24h
Transporter 18 Lkw/24h
Lkw 27 Lkw/24h

Abgeschätzte nachnittägliche Spitzenstunde (Ziel- und Quellverkehr)

Mitarbeiter Pkw 50 Pkw/h
Besucher Pkw 5 Pkw/h
Transporter 5 Lkw/h
Lkw 10 Lkw/h

Nachmittägliche Spitzenstunde: ungünstiger Fall, da linkseinbiegender Strom 5

stark belastet

Verteilung auf Fahrtrichtungen gewählt

Annahme: Bezug Neumarkt / Autobahn 50%
Bezug Pilsach 50%

Zielverkehr Spitzenstunde (Ströme 1 und 4)

Mitarbeiter Pkw 5 Pkw/h
Besucher Pkw 1 Pkw/h
Transporter 2 Lkw/h
Lkw 5 Lkw/h

Quellverkehr Spitzenstunde (Ströme 5 und 6)

Mitarbeiter Pkw 45 Pkw/h
Besucher Pkw 4 Pkw/h
Transporter 3 Lkw/h
Lkw 5 Lkw/h

===> Spitzenstunde Strom 1 3 Pkw/h

4 Lkw/h

Spitzenstunde Strom 4 3 Pkw/h

4 Lkw/h

Spitzenstunde Strom 6 25 Pkw/h

4 Lkw/h

Spitzenstunde Strom 5 25 Pkw/h

4 Lkw/h



Verkehrsaufkommen der Fa. Bader, Zweiräder

Annahmen: Keine Mitarbeiterfahrten in der nachmittäglichen Sp-h

30 Kundenfahrten in der nachmittäglichen Sp-h

davon 20 Zielverkehr

10 Quellverkehr

Verteilung auf Fahrtrichtungen

Annahme: Bezug Neumarkt / Autobahn 50%

Bezug Pilsach 50%

===> Spitzenstunde Strom 1 10 Pkw/h

Spitzenstunde Strom 4 10 Pkw/h

Spitzenstunde Strom 6 5 Pkw/h

Spitzenstunde Strom 5 5 Pkw/h

PROGNOSE

Knotenpunktbelastung in NACHMITTÄGLICHEN SPITZENSTUNDE

Strom 1		Pkw/h Lkw/h
Strom 2	000	Pkw/h Lkw/h
Strom 3	–	Pkw/h Lkw/h
Strom 4		Pkw/h Lkw/h
Strom 5		Pkw/h Lkw/h
Strom 6		Pkw/h Lkw/h

Anmerkung: Diese Stromnummerierung stimmt NICHT mit der Nummerierung

im Programm KNOBEL über ein.

Formblatt L5-1a: Beurteilung einer Einmündung nach HBS 2015 (L5) A-C: B 299 - Pilsach Knotenpunkt: / B: Haberslehla Verkehrsdaten: Datum Vormittägliche Sph Uhrzeit [] außerhalb von Ballungsräumen Lage: 🌃 innerhalb eines Ballungsraums Zufahrt B: 🚺 🚺 Verkehrsregelung: Qualitätsstufe Zielvorgaben: Mittlere Wartezeit w = 45s D Geometrische Randbedingungen Zufahrt Verkehrs-Fahrstreifen Anzahl Aufstelllänge Dreiecksinsel (RA) strom (0/1/2)n [Pkw-E] (ja/nein) 1 3 2 2 1 Α 3 0 nein 4 1 В 6 0 10 nein 7 1 20 С 8 1 Bemessungsverkehrsstärken und Verkehrszusammensetzung Zufahrt | Verkehrs-LV Lkw+Bus LkwK Pkw-E/Fz Pkw-E Fz (Sp. 4 + Sp.5 (Gl. (L5-2) oder strom (Gl. (L5-1)) + Sp. 6) (Gl. (L5-3) oder (Sp. 7 * Sp. 8)) Gl. (L5-4)) f _{PE,i} q_{Lkw+Bus, i} $q_{LV,i}$ q_{LkwK, i} q_{Fz, i} q_{PE, i} [Pkw/h] [Lkw/h] [LkwK/h] [Pkw-E/h] [Fz/h] [-] 4 5 6 7 8 9 2 593 56 0 649 1,043 677 Α 3 15 4 0 19 1,105 21

7

17

72

356

4

8

10

50

0

0

0

0

5

13

67

331

4

6

7

8

В

С

1

5

57

281

1,400

1,308

1,075

1,076

Formblatt L5-1b: Beurteilung einer Einmündung nach HBS 2015 (L5) A-C: B 299 - Pilsach Knotenpunkt: / B: Haberslehla Verkehrsdaten: Datum Vormittägliche Sph Planung [] Analyse Uhrzeit [] außerhalb von Ballungsräumen Lage: 🌠 innerhalb eines Ballungsraums Verkehrsregelung: Zufahrt B: 🕡 Mittlere Wartezeit w = 45s Qualitätsstufe Zielvorgaben: D Kapazität der Verkehrsströme 2 und 8 Verkehrsstärke Kapazität Auslastungsgrad Verkehrs-(Sp. 10 / Sp. 11)) strom (Sp. 9) $q_{PE. i}$ [Pkw-E/h] C_{PE. i} [Pkw-E/h] x _i [-] 10 11 12 2 677 1800 0,376 8 356 1800 0,198 Grundkapazität der Verkehrsströme 3, 4, 6 und 7 Verkehrs-Verkehrsstärke Hauptströme Grundkapazität strom (Sp. 9) (Tabelle L5-2) (Bild L5-2 bis Bild L5-4 mit Sp. 14) $q_{PE, i}$ [Pkw-E/h] $G_{PE i}$ [Pkw-E/h] $q_{p,i}$ [Fz/h] 14 15 13 mit RA mit RA ohne RA ohne RA 3 21 0 1600 7 72 668 635 17 659 470 4 7 1057 251 Kapazität der Verkehrsströme 3, 6 und 7 Kapazität Auslastungsgrad staufreier Zustand Verkehrsstrom (Gl. (L5-7) bzw. Sp. 15) (Sp. 13 / Sp. 16) (Gl. (L5-8) mit Sp. 2, 12 und 17)) C_{PE, i} [Pkw-E/h] x _i [-] p_{0,7}[-] 16 17 18 3 1600 0,013 7 635 0,113 0,887 6 470 0,036 Kapazität des Verkehrsstroms 4 Verkehrs-Kapazität Auslastungsgrad (Gl. (L5-9)) bzw. (Sp. 15 * Sp. 18) strom (Sp. 13 / Sp. 19) $C_{PE, 4}$ [Pkw-E/h] x₄ [-] 20 19 4 223 0,031

D

Formblatt L5-1c: Beurteilung einer Einmündung nach HBS 2015 (L5)

A-C: B 299 - Pilsach / B: Haberslehla

Verkehrsdaten: Datum Uhrzeit

Knotenpunkt:

Lage:

Vormittägliche Sph
Planung [] Analyse

[]_/ außerhalb von Ballungsräumen

innerhalb eines Ballungsraums

Verkehrsregelung: Zufahrt B: 🕡 🗸 [] 💵

Zielvorgaben: Mittlere Wartezeit w = 45s Qualitätsstufe

Kapazität der Mischströme

	Kapazitat der Mischstrome					
Zufahrt	Verkehrs-	Auslastungsgrad	Aufstellplätze	Verkehrsstärke	Kapazität	Verkehrszusam-
	strom	(Sp. 12, 17, 20)	(Sp. 2)	(Sp. 9)	(Gl. (L5-10) bzw.	mensetzung
					(L5-11))	(Gl. (L5-5) mit
						Sp.7 und 8)
		x _i [-]	n [Pkw-E]	q _{PE, i} [Pkw-E/h]	C _{PE, m} [Pkw-E/h]	f _{PE, m} [-]
		21	22	23	24	25
В	4	0,031	10	24	652	1,333
	6	0,036	10	24	032	1,000
С	7	0,113	20	428		1,075
	8	0,198		720		1,370

Beurteilung der Qualität des Verkehrsablaufs der Fahrzeugströme

Zufahrt	Verkehrs-		Kapazität	Kapazität	Kapazitäts-	mittlere	Qualitätsstufe
	strom	zusammen-	in Pkw-E/h	in Fz/h	reserve	Wartezeit	Taballa I E 1
		setzung (Sp. 8 und 25)	(Sp. 11.16	(Gl. (L5-26)) Sp.27 / Sp.26)	(Gl. (L5-27))	(Bild L5-22)	Tabelle L5-1
		(Sp. 6 und 25)	(Sp. 11, 16, 19 und 24)	Sp.27 / Sp.20)	Sp.28 - Sp.7)		mit Sp. 30)
		f bzw	,	C _i bzw.	P hzw	t hzw	QSV _i
		f _{PE, i} bzw.	C _{PE, i} bzw.		R _i bzw.	t _{W, i} bzw.	Q3v _i
		f _{PE, m} [-]	C _{PE,m} [Pkw-E/h]	C _m [Fz/h]	R _m [Fz/h]	t _{W, m} [s]	
		26	27	28	29	30	31
A	2	1,043	1800	1726	1077	3,3	A
A	3	1,105	1600	1448	1429	2,5	Α
В	4	1,400	223	159	154	23,3	С
	6	1,308	470	359	346	10,4	В
С	7	1,075	635	591	524	6,9	Α
	8	1,076	1800	1674	1343	2,7	A
В	4+6	1,333	652	489	471	7,6	Α
С	7+8						
	,		,	erreichba	are Qualitätsst	ufe QSV _{ges}	С

Formblatt L5-1a: Beurteilung einer Einmündung nach HBS 2015 (L5) A-C: B 299 - Pilsach Knotenpunkt: / B: Haberslehla Nachmittägliche Sph Verkehrsdaten: Datum Uhrzeit [] außerhalb von Ballungsräumen Lage: 🌃 innerhalb eines Ballungsraums Zufahrt B: 🚺 🗸 Verkehrsregelung: Mittlere Wartezeit w = 45s Qualitätsstufe Zielvorgaben: D Geometrische Randbedingungen Zufahrt Verkehrs-Fahrstreifen Anzahl Aufstelllänge Dreiecksinsel (RA) strom (0/1/2)n [Pkw-E] (ja/nein) 1 3 2 2 1 Α 3 0 nein 4 1 В 6 0 10 nein 7 1 20 С 8 1 Bemessungsverkehrsstärken und Verkehrszusammensetzung Zufahrt | Verkehrs-LV Lkw+Bus LkwK Pkw-E/Fz Pkw-E Fz (Sp. 4 + Sp.5 (Gl. (L5-2) oder strom (Gl. (L5-1)) + Sp. 6) (Gl. (L5-3) oder (Sp. 7 * Sp. 8)) Gl. (L5-4)) f _{PE,i} q_{Lkw+Bus, i} $q_{LV,i}$ q_{LkwK, i} q_{Fz, i} q_{PE, i} [Pkw-E/h] [Pkw/h] [Lkw/h] [LkwK/h] [Fz/h] [-] 5 6 7 8 2 442 56 0 498 1,056 526 Α 3 14 5 0 19 1,132 21,5 39,5 4 0 1,068 32 5 37 В 6 48 1,056 57 6 0 54

35,5

664,5

0

0

30

646

7

8

С

19

609

11

37

1,183

1,029

Formblatt L5-1b: Beurteilung einer Einmündung nach HBS 2015 (L5) A-C: B 299 - Pilsach Knotenpunkt: / B: Haberslehla Nachmittägliche Sph Verkehrsdaten: Datum ✓ Planung [] Analyse Uhrzeit [] außerhalb von Ballungsräumen Lage: 🌠 innerhalb eines Ballungsraums Verkehrsregelung: Zufahrt B: 🕡 Mittlere Wartezeit w = 45s Qualitätsstufe Zielvorgaben: D Kapazität der Verkehrsströme 2 und 8 Verkehrs-Verkehrsstärke Kapazität Auslastungsgrad (Sp. 10 / Sp. 11)) strom (Sp. 9) $q_{PE. i}$ [Pkw-E/h] $C_{PE. i}$ [Pkw-E/h] x _i [-] 10 11 12 1800 2 526 0,292 8 665 1800 0,369 Grundkapazität der Verkehrsströme 3, 4, 6 und 7 Verkehrs-Verkehrsstärke Hauptströme Grundkapazität strom (Sp. 9) (Tabelle L5-2) (Bild L5-2 bis Bild L5-4 mit Sp. 14) q_{PE, i} [Pkw-E/h] $G_{PE i}$ [Pkw-E/h] $q_{p,i}$ [Fz/h] 15 13 mit RA ohne RA mit RA ohne RA 3 22 0 1600 7 36 517 757 57 508 578 4 40 1184 211 Kapazität der Verkehrsströme 3, 6 und 7 Kapazität Auslastungsgrad staufreier Zustand Verkehrs-(Gl. (L5-7) bzw. Sp. 15) (Sp. 13 / Sp. 16) (Gl. (L5-8) mit Sp. 2, 12 und 17)) strom C_{PE, i} [Pkw-E/h] x _i [-] p_{0,7}[-] 16 17 18 3 1600 0,013 7 0,047 757 0,953 6 578 0,099 Kapazität des Verkehrsstroms 4 Verkehrs-Kapazität Auslastungsgrad (Gl. (L5-9)) bzw. (Sp. 15 * Sp. 18) strom (Sp. 13 / Sp. 19) $C_{PE, 4}$ [Pkw-E/h] x₄ [-] 20 19 4 202 0,196

1,036

Formblatt L5-1c: Beurteilung einer Einmündung nach HBS 2015 (L5) A-C: B 299 - Pilsach Knotenpunkt: / B: Haberslehla Nachmittägliche Sph Verkehrsdaten: Datum ✓ Planung [] Analyse Uhrzeit [] außerhalb von Ballungsräumen Lage: 🌠 innerhalb eines Ballungsraums Verkehrsregelung: Zufahrt B: U Mittlere Wartezeit w = 45s Qualitätsstufe Zielvorgaben: D Kapazität der Mischströme Zufahrt | Verkehrs-Auslastungsgrad Aufstellplätze Verkehrsstärke Kapazität Verkehrszusam-(Sp. 12, 17, 20) (Gl. (L5-10) bzw. strom (Sp. 2) (Sp. 9) mensetzung (Gl. (L5-5) mit (L5-11))Sp.7 und 8) q_{PE, i} [Pkw-E/h] n [Pkw-E] $C_{PE, m}$ [Pkw-E/h] x _i [-] f _{PE, m} [-] 25 21 22 23 24 4 0,196 В 97 492 1,060 10

20

6

7

8

С

0,099

0,047

0,369

	·	l .				I	
		Beurteilung d	er Qualität des	Verkehrsabla	ufs der Fahrze	eugströme	
Zufahrt	Verkehrs-	Verkehrs-	Kapazität	Kapazität	Kapazitäts-	mittlere	Qualitätsstufe
	strom	zusammen-	in Pkw-E/h	in Fz/h	reserve	Wartezeit	
		setzung		(Gl. (L5-26))	(Gl. (L5-27))	(Bild L5-22)	Tabelle L5-1
		(Sp. 8 und 25)	(Sp. 11, 16,	Sp.27 / Sp.26)	Sp.28 - Sp.7)		mit Sp. 30)
			19 und 24)				
		f _{PE, i} bzw.	C _{PE, i} bzw.	C _i bzw.	R _i bzw.	t _{W, i} bzw.	QSV _i
		f _{PE, m} [-]	C _{PE,m} [Pkw-E/h]	C _m [Fz/h]	R _m [Fz/h]	t _{W, m} [s]	
		26	27	28	29	30	31
٨	2	1,056	1800	1704	1206	3,0	Α
Α	3	1,132	1600	1414	1395	2,6	Α
В	4	1,068	202	189	152	23,7	С
Ь	6	1,056	578	548	494	7,3	Α
	7	1,183	757	640	610	5,9	Α
С	8	1,029	1800	1750	1104	3,3	Α
В	4+6	1,060	492	464	373	9,7	Α
С	7+8						
		,		erreichba	re Qualitätsst	ufe QSV _{ges}	С

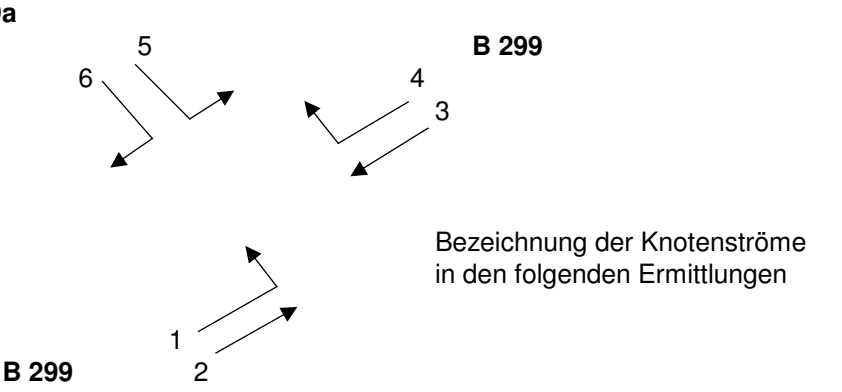
700



Vorbereitung zur Berechnung der Leistungsfähigkeit am Knotenpunkt B 299 / B 299a (zur A 3)

Vormittägliche Spitzenstunde

B 299a



Grundlagen:

- Kfz-Verkehrsbelastungen B 299
 Verkehrszählung von R+T am 10.09.2020
- Verkehrszahlen zu neuen Nutzungen Habersmühle Fuchs & Söhne Holding GmbH (E-Mail von Herrn Tobias Kugler, 13.08.2020)
- Fa. Bader, Verkauf, Reperatur und Lagerung von Zweirädern Stellungnahme Fachstelle Immissionsschutz, Stadt Neumarkt (E-Mail von Herrn Tassio Schwedux, 18.08.2020)

Maßgebendes Kfz-Verkehrsaufkommen

Kfz-Verkehrsbelastung (Grundlage aus Zählung vom 10.09.2020)

		Prognosefaktor	1,1
BESTAND Strom 1 davon SV	489 Pkw/h 57 Lkw/h	PROGNOSE Strom 1 davon SV	538 Pkw/h 63 Lkw/h
Strom 2	236 Pkw/h	Strom 2	260 Pkw/h
davon SV	42 Lkw/h	davon SV	46 Lkw/h
Strom 3	468 Pkw/h	Strom 3	515 Pkw/h
davon SV	43 Lkw/h	davon SV	47 Lkw/h
Strom 4	55 Pkw/h	Strom 4	61 Pkw/h
davon SV	9 Lkw/h	davon SV	10 Lkw/h
Strom 5	30 Pkw/h	Strom 5	33 Pkw/h
davon SV	9 Lkw/h	davon SV	10 Lkw/h
Strom 6	325 Pkw/h	Strom 6	358 Pkw/h
davon SV	65 Lkw/h	davon SV	72 Lkw/h

7 Lkw/h



Verkehrsaufkommen der Nutzungen im Gebiet Bebauungsplan Habersmühle (Grundlagen dazu in Anlage 3)

Zielverkehr vormittägliche Spitzenstunde

Mitarbeiter Pkw Besucher Pkw Transporter Lkw		45 Pkw/h 4 Pkw/h 3 Lkw/h 5 Lkw/h
_	Summen	49 Pkw/h
		8 Lkw/h
Quellverkehr nachmittägliche S	pitzenstunde	
Mitarbeiter Pkw		5 Pkw/h
Besucher Pkw		1 Pkw/h
Transporter		2 Lkw/h
Lkw		5 Lkw/h
	Summen	6 Pkw/h

Verkehrsaufkommen der Fa. Bader, Zweiräder

Nur Zielverkehr 10 Pkw/h

Angenommene Bedingungen der Verkehrsverteilung

Bezug Ne	80%	
davon	Neumarkt	60%
	Autobahn	40%

===> Verteilung im betrachteten Knotenpunkt

Strom 2	28 Pkw/h
davon SV	4 Lkw/h
Strom 3	3 Pkw/h
davon SV	3 Lkw/h
Strom 4	2 Pkw/h
davon SV	2 Lkw/h
Strom 5	19 Pkw/h
davon SV	3 Lkw/h



PROGNOSE

Knotenpunktbelastung in VORMITTÄGLICHEN SPITZENSTUNDE

Die maßgebende Knotenpunktbelastung ergibt sich aus der Summe der prognostizierten Zählwerte und dem Neuverkehr des Gebiets Bebauungsplan Habersmühle.

Strom 1		Pkw/h Lkw/h
Strom 2		Pkw/h Lkw/h
Strom 3		Pkw/h Lkw/h
Strom 4	•	Pkw/h Lkw/h
Strom 5		Pkw/h Lkw/h
Strom 6		Pkw/h Lkw/h

Anmerkungen:

Die vierte Zufahrt von Osten in den Knotenpunkt wird hier nicht berücksichtigt, da von und zu dieser Anbindung nur vereinzelte, überwiegend landwirtschaftliche Fahrzeuge fahren. Im Signalprogramm für den Knotenpunkt werden diese nur auf Anforderung abgewickelt. Die dafür erforderliche Zeit kann in einer längeren Summe der Zwischenzeiten berücksichtigt werden.

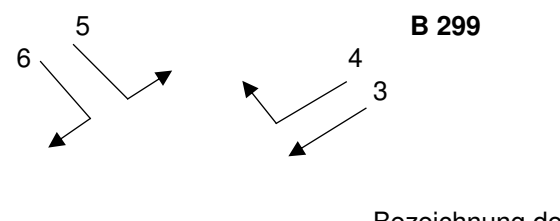
Diese Stromnummerierung stimmt NICHT mit der Nummerierung im Programm AMPEL über ein.



Vorbereitung zur Berechnung der Leistungsfähigkeit am Knotenpunkt B 299 / B 299a (zur A 3)

Nachmittägliche Spitzenstunde

B 299a



B 299 2

Bezeichnung der Knotenströme in den folgenden Ermittlungen

Grundlagen:

- Kfz-Verkehrsbelastungen B 299 Verkehrszählung von R+T am 10.09.2020
- Verkehrszahlen zu neuen Nutzungen Habersmühle Fuchs & Söhne Holding GmbH (E-Mail von Herrn Tobias Kugler, 13.08.2020)
- Fa. Bader, Verkauf, Reperatur und Lagerung von Zweirädern Stellungnahme Fachstelle Immissionsschutz, Stadt Neumarkt (E-Mail von Herrn Tassio Schwedux, 18.08.2020)

Maßgebendes Kfz-Verkehrsaufkommen

Kfz-Verkehrsbelastung (Grundlage aus Zählung vom 10.09.2020)

		Prognosefaktor	1,1
BESTAND Strom 1 davon SV	404 Pkw/h 21 Lkw/h	PROGNOSE Strom 1 davon SV	444 Pkw/h 23 Lkw/h
Strom 2	514 Pkw/h	Strom 2	565 Pkw/h
davon SV	21 Lkw/h	davon SV	23 Lkw/h
Strom 3	368 Pkw/h	Strom 3	405 Pkw/h
davon SV	26 Lkw/h	davon SV	29 Lkw/h
Strom 4	43 Pkw/h	Strom 4	47 Pkw/h
davon SV	4 Lkw/h	davon SV	4 Lkw/h
Strom 5	60 Pkw/h	Strom 5	66 Pkw/h
davon SV	12 Lkw/h	davon SV	13 Lkw/h
Strom 6	462 Pkw/h	Strom 6	508 Pkw/h
davon SV	28 Lkw/h	davon SV	31 Lkw/h

6 Pkw/h 7 Lkw/h



Verkehrsaufkommen der Nutzungen im Gebiet Bebauungsplan Habersmühle (Grundlagen dazu in Anlage 3)

Zielverkehr vormittägliche Spitzenstunde

Mitarbeiter Pkw		45 Pkw/h
Besucher Pkw		4 Pkw/h
Transporter		3 Lkw/h
Lkw		5 Lkw/h
	Summen	49 Pkw/h
		8 Lkw/h
Quellverkehr nachmittägliche	Spitzenstunde	
Mitarbeiter Pkw		5 Pkw/h
Besucher Pkw		1 Pkw/h
Transporter		2 Lkw/h
Lkw		5 Lkw/h
-		

Summen

Verkehrsaufkommen der Fa. Bader, Zweiräder

Zielverkehr	20 Pkw/h
Quellverkehr	10 Pkw/h

Angenommene Bedingungen der Verkehrsverteilung

Bezug Ne	80%	
davon	Neumarkt	60%
	Autobahn	40%

===> Verteilung im betrachteten Knotenpunkt

Strom 2	33 Pkw/h
davon SV	4 Lkw/h
Strom 3	8 Pkw/h
davon SV	3 Lkw/h
Strom 4	5 Pkw/h
davon SV	2 Lkw/h
Strom 5	22 Pkw/h
davon SV	3 Lkw/h



PROGNOSE

Knotenpunktbelastung in VORMITTÄGLICHEN SPITZENSTUNDE

Die maßgebende Knotenpunktbelastung ergibt sich aus der Summe der prognostizierten Zählwerte und dem Neuverkehr des Gebiets Bebauungsplan Habersmühle.

Strom 1		Pkw/h Lkw/h
Strom 2		Pkw/h Lkw/h
Strom 3		Pkw/h Lkw/h
Strom 4	~-	Pkw/h Lkw/h
Strom 5	•	Pkw/h Lkw/h
Strom 6	000	Pkw/h Lkw/h

Anmerkungen:

Die vierte Zufahrt von Osten in den Knotenpunkt wird hier nicht berücksichtigt, da von und zu dieser Anbindung nur vereinzelte, überwiegend landwirtschaftliche Fahrzeuge fahren. Im Signalprogramm für den Knotenpunkt werden diese nur auf Anforderung abgewickelt. Die dafür erforderliche Zeit kann in einer längeren Summe der Zwischenzeiten berücksichtigt werden.

Diese Stromnummerierung stimmt NICHT mit der Nummerierung im Programm AMPEL über ein.

F	LI-H 4	Knotenpunkt mit Lichtsignalanlage									
Form	DIALL I	Ausgangsdaten									
Projekt: Leistungsfähigkeit von Knotenpunkten an der B 299 (1978)								Stadt			
	Knotenpunkt:	B 299 / B 29	9a (zur A 3),	Bestehendes	System			Datum	: 21.09.2020		
] :	Zeitabschnitt:	Vormittäglich	e Spitzenstu	nde				Bearbeiter	:		
Umlaufzeit	t _U : 90 [s]										
Kfz-Verkel	nrsströme										
NI.	q _{LV}	q _{Lkw+Bus}	q _{LkwK}	q_{Kfz}	q_{SV}	f _{SV}		Anzahl	Misch-	bedingt	
Nr.	[Kfz/h]	[Kfz/h]	[Kfz/h]	[Kfz/h]	[Kfz/h]	[-]		Fahrstreifen	fahrstreifen	verträglich	
1	52	13	0			1,150		1	ja	nein	
2	0	0	0			1,000		1	ja	nein	
3								0			
4	538	63	0			1,079		1	nein	nein	
5	288	50	0			1,111		1	ja	nein	
6	0	0	0			1,000		1	ja	nein	
7	0	0	0			1,000		1	ja	nein	
8	0	3	0			1,750		1	ja	nein	
9	0	1	0			1,750		1	ja	nein	
10	1	0	0			1,000		1	nein	nein	
11	518	50	0			1,066		1	nein	nein	
12	63	12	0			1,120		1	nein	nein	
Kfz-Fahrst	reifen					·					
	Fahrt-		L	b	f _b	R	f _R	s	f _s	L _{LA} /L _{RA}	
Zufahrt	richtung	Nr.	[m]	[m]	[-]	[m]	[-]	[%]	[-]	[m]	
1	gerade	11		>= 3,00	1,000	-	1,000	0,0	1,000		
1	links	11		>= 3,00	1,000	20,00	1,000	0,0	1,000		
2	rechts	21		>= 3,00	1,000	20,00	1,000	0,0	1,000		
2	gerade	21		>= 3,00	1,000	-	1,000	0,0	1,000		
2	links	22		>= 3,00	1,000	20,00	1,000	0,0	1,000		
3	rechts	31		>= 3,00	1,000	20,00	1,000	0,0	1,000		
3	gerade	31		>= 3,00	1,000	-	1,000	0,0	1,000		
3	links	31		>= 3,00	1,000	20,00	1,000	0,0	1,000		
4	rechts	41		>= 3,00	1,000	20,00	1,000	0,0	1,000		
4	gerade	42		>= 3,00	1,000	-	1,000	0,0	1,000		
4	links	43		>= 3,00	1,000	20,00	1,000	0,0	1,000		
	r-/Radfahrer			-,	,	-,-,-	,		,	I	
3. 30.	Bez.	q _{Fg}	q _{Rad}		1. Furt	2. Furt	3. Furt	4. Furt			
Zufahrt	Signalgr.	[Fg/h]	[Rad/h]		Länge	Länge	Länge	Länge			
	- 33.		[[m]	[m]	[m]	[m]			

Form	blatt 2				Knotenpun	kt mit Lichtsi	gnalanlage			
				Berechr	nung der Grui	ndlagendater	n für den Kfz-	Verkehr		
	Projekt	: Leistungsfäh	igkeit von Kr	otenpunkten	an der B 299	(1978)		Stadt		
	Knotenpunkt	B 299 / B 29	9a (zur A 3),	Bestehendes	System			Datum	: 21.09.2020	
	Zeitabschnitt	: Vormittäglich	e Spitzenstu	nde				Bearbeiter	:	
Kfz-Verke	hrsströme -	Kapazitäten	(strombezo	gen)						
	Bez.	t _{B,i}	$q_{S,i}$	t _{F,i}	C _{0,i}	$C_{D,i}$	C _{PW,i}	$C_{GF,i}$	$C_{LA,i}$	C _{RA,i}
Nr.	SG	[s]	[Kfz/h]	[s]	[Kfz/h]	[Kfz/h]	[Kfz/h]	[Kfz/h]	[Kfz/h]	[Kfz/h]
1	K1	2,070	1739	5	116					
2	K1	1,800	2000	5	133					
3										
4	K2	1,942	1854	34	721					
5	K3	2,000	1800	29	600					
6	K3	1,800	2000	29	667					
7	K6	1,800	2000	5	133					
8	K6	3,150	1143	5	76					
9	K6	3,150	1143	5	76					
10	K7	1,800	2000	33	756					
11	K4	1,919	1876	30	646					
12	K5	2,016	1786	38	774					
12	13	2,010	1700	30	774					
Vf= Vouko	huootuõmo	Kapazitäten	/fabratraifar	hozogon\						
NIZ-VEI KE	Bez.				~	n	NI	C		
Nr.	SG	q _j [Kfz/h]	q _G	q _{RA}	q _{LA} [Kfz/h]	n _k	N _{MS,90,j}	C _{K,j}	C _{M,j}	C _j [Kfz/h]
4.4		 	[Kfz/h]	[Kfz/h]		[Kfz]	[Kfz]	[Kfz/h]	[Kfz/h]	[NIZ/11]
11	K1	65	0		65		4,490		116	
21	K3	338	338	0	004		11,666		600	704
22	K2	601		_	601		23,972		70	721
31	K6	4	3	1	0		0,622		76	77.4
41	K5	75		75			2,694			774
42	K4	568	568		_		26,635			646
43	K7	1			1		0,196			756

AMPEL Version 6.2.6

Formblatt 3		Knotenpunkt mit Lichtsignalanlage									
Form	Diatt 3	Berechnung der Verkehrsqualitäten									
	Projekt:	Leistungsfäh	nigkeit von Kn	otenpunkten	an der B 299	(1978)		Stadt:			
	Knotenpunkt:	tt: B 299 / B 299a (zur A 3), Bestehendes System Datum: 21.09.2020									
	Zeitabschnitt:	: Vormittäglich	ne Spitzenstu	nde				Bearbeiter:			
Kfz-Verkel	hrsströme -	Verkehrsqua	alitäten (fahr	streifenbezo	gen)						
Nr.	Bez.	Ströme	q _j	x_j	$f_{A,j}$	$N_{\text{GE},j}$	$N_{MS,j}$	L _{90,j}	$t_{W,j}$	QSV	
	SG		[Kfz/h]	[-]	[-]	[Kfz]	[Kfz]	[m]	[s]	[-]	
11	K1	1, 2	65	0,560	0,07	0,759	2,334	31	64,3	D	
21	K3	5, 6	338	0,563	0,33	0,805	7,741	78	29,5	В	
22	K2	4	601	0,834	0,39	4,403	17,988	155	46,8	С	
31	K6	7, 8, 9	4	0,053	0,07	0,031	0,124	7	40,8	С	
41	K5	12	75	0,097	0,43	0,060	1,169	18	15,4	Α	
42	K4	11	568	0,879	0,34	6,928	20,281	170	66,4	D	
43	K7	10	1	0,001	0,38	0,001	0,016	1	17,4	Α	
Gesamt			1652						49,2		
Fußgänge	r- /Radfahre	rfurten									
Zufahrt	Bez.	q _{Fg}	q _{Rad}	Anzahl	t _{W,max}					QSV	
Zuianiil	SG	[Fg/h]	[Rad/h]	Furten	[s]					[-]	
								Gesamt	bewertung:	D	

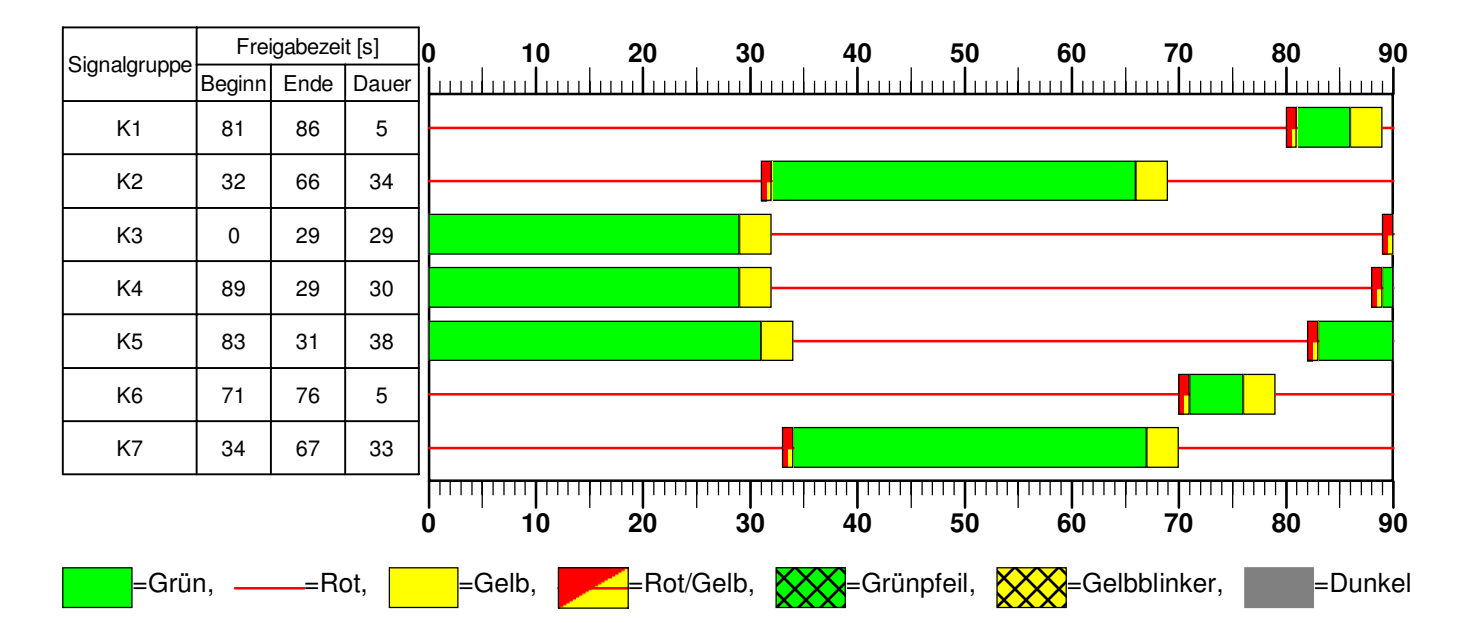
Signalzeitenplan

Datei : 2020-09-17 - KP B299-B299a VormSPH_RH_4Phasen.amp Projekt : Leistungsfähigkeit von Knotenpunkten an der B 299 (1978)

Knoten: B 299 / B 299a (zur A 3), Bestehendes System

Stunde: Vormittägliche Spitzenstunde





Übersicht Kfz- und Fußgänger- Signalgruppen

Datei : 2020-09-17 - KP B299-B299a VormSPH_RH_4Phasen.amp Projekt : Leistungsfähigkeit von Knotenpunkten an der B 299 (1978)

Knoten: B 299 / B 299a (zur A 3), Bestehendes System

Stunde: Vormittägliche Spitzenstunde



Kfz-Gr.	Bezeichnung	1.Strom	2.Strom	3.Strom
K1	K1	2	1	0
K2	K2	4	0	0
K3	K3	5	6	0
K4	K4	11	0	0
K5	K5	12	0	0
K6	K6	8	7	9
K7	K7	10	0	0

1. Strom = Hauptstrom; Minuswert=Sekundärsignal

		anlie	gende St	röme	ablie	gende St	röme	
FußgGr.	Bezeichnung	1.Strom	2.Strom	3.Strom	1.Strom	2.Strom	3.Strom	in Zufahrt

Minuswert = bedingt verträglich

AMPEL Version 6.2.6 Seite 1

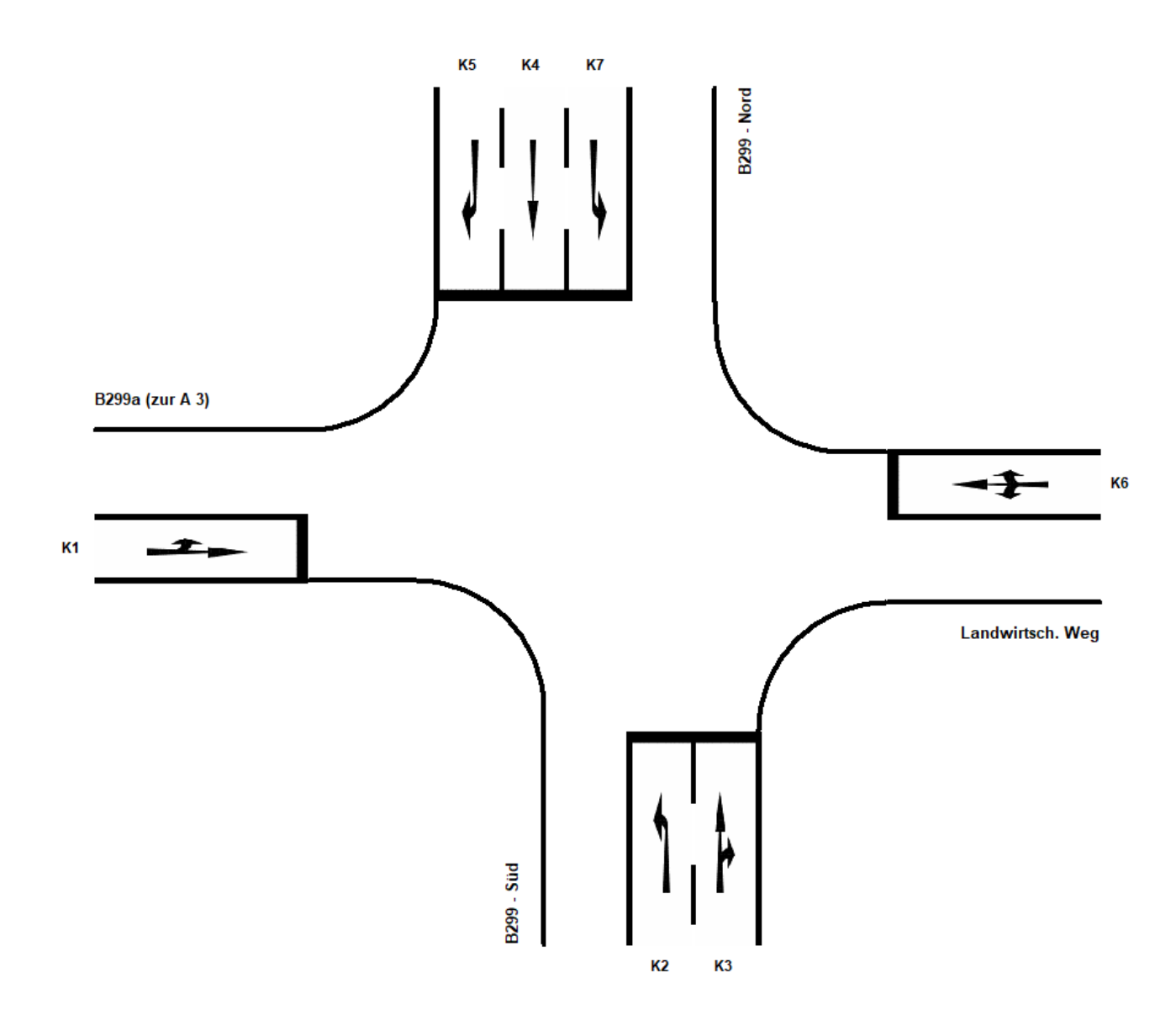
Übersicht Kfz- und Fußgänger- Signalgruppen

Datei : 2020-09-17 - KP B299-B299a VormSPH_RH_4Phasen.amp Projekt : Leistungsfähigkeit von Knotenpunkten an der B 299 (1978)

Knoten: B 299 / B 299a (zur A 3), Bestehendes System

Stunde: Vormittägliche Spitzenstunde





AMPEL Version 6.2.6 Seite 2

Formblatt 1		Knotenpunkt mit Lichtsignalanlage										
		Ausgangsdaten										
	Projekt: Leistungsfähigkeit von Knotenpunkten an der B 299 (1978) Stadt:											
Knotenpunkt: B 299 / B 299a (zur A 3), Bestehendes System								Datum: 21.09.2020				
Zeitabschnitt: Nachmittägliche Spitzenstunde								Bearbeiter:				
Umlaufzeit	t _U : 90 [s]											
Kfz-Verkehrsströme												
Nr.	q_LV	q _{Lkw+Bus}	q_{LkwK}	q_{Kfz}	q_{SV}	f_{SV}		Anzahl	Misch-	bedingt		
INI.	[Kfz/h]	[Kfz/h]	[Kfz/h]	[Kfz/h]	[Kfz/h]	[-]		Fahrstreifen	fahrstreifen	verträglich		
1	88	16	0			1,115		1	ja	nein		
2	0	0	0			1,000		1	ja	nein		
3								0				
4	444	23	0			1,037		1	nein	nein		
5	598	27	0			1,032		1	ja	nein		
6	0	0	0			1,000		1	ja	nein		
7	0	1	0			1,750		1	ja	nein		
8	0	0	0			1,000		1	ja	nein		
9	0	0	0			1,000		1	ja	nein		
10	0	1	0			1,750		1	nein	nein		
11	413	32	0			1,054		1	nein	nein		
12	52	6	0			1,078		1	nein	nein		
Kfz-Fahrst	reifen											
	Fahrt-		L	b	f _b	R	f _R	s	f _s	L _{LA} /L _{RA}		
Zufahrt	richtung	Nr.	[m]	[m]	[-]	[m]	[-]	[%]	[-]	[m]		
1	gerade	11		>= 3,00	1,000	-	1,000	0,0	1,000			
1	links	11		>= 3,00	1,000	20,00	1,000	0,0	1,000			
2	rechts	21		>= 3,00	1,000	20,00	1,000	0,0	1,000			
2	gerade	21		>= 3,00	1,000	-	1,000	0,0	1,000			
2	links	22		>= 3,00	1,000	20,00	1,000	0,0	1,000			
3	rechts	31		>= 3,00	1,000	20,00	1,000	0,0	1,000			
3	gerade	31		>= 3,00	1,000	-	1,000	0,0	1,000			
3	links	31		>= 3,00	1,000	20,00	1,000	0,0	1,000			
4	rechts	41		>= 3,00	1,000	20,00	1,000	0,0	1,000			
4	gerade	42		>= 3,00	1,000	-,	1,000	0,0	1,000			
4	links	43		>= 3,00	1,000	20,00	1,000	0,0	1,000			
Fußgänger-/Radfahrerfurten										l		
1 2 32 190	Bez.	q _{Fg}	q _{Rad}		1. Furt	2. Furt	3. Furt	4. Furt				
Zufahrt	Signalgr.	બ⊦g [Fg/h]	Rad/h]		Länge	Länge	Länge	Länge				
	Jigi idigi .	ני שייין	[1144/11]		[m]	[m]	[m]	[m]				
L					լույ	[iii]	լույ	լույ				

Formblatt 2		Knotenpunkt mit Lichtsignalanlage									
1 01111	widt 2			Berechr	nung der Grui	ndlagendater	n für den Kfz-	Verkehr			
	Projekt	: Leistungsfäh	igkeit von Kr	otenpunkten	an der B 299	(1978)		Stadt	:		
	-	: B 299 / B 29				,		Datum: 21.09.2020			
	Zeitabschnitt	: Nachmittäglid	che Spitzens					Bearbeiter:			
Kfz-Verke	hrsströme -	Kapazitäten	(strombezo	gen)							
	Bez.	t _{B,i}	$q_{S,i}$	t _{F,i}	C _{0,i}	C _{D,i}	C _{PW,i}	$C_{GF,i}$	$C_{LA,i}$	C _{RA,i}	
Nr.	SG	[s]	[Kfz/h]	[s]	[Kfz/h]	[Kfz/h]	[Kfz/h]	[Kfz/h]	[Kfz/h]	[Kfz/h]	
1	K1	2,008	1793	8	179						
2	K1	1,800	2000	8	200						
3											
4	K2	1,866	1929	28	622						
5	K3	1,858	1938	32	710						
6	КЗ	1,800	2000	32	733						
7	K6	3,150	1143	5	76						
8	K6	1,800	2000	5	133						
9	K6	1,800	2000	5	133						
10	K7	3,150	1143	27	356						
11	K4	1,897	1898	33	717						
12	K5	1,940	1856	41	866						
Kfz-Verke	hrsströme -	Kapazitäten	(fahrstreifer	nbezogen)							
Nie	Bez.	q _j	q_G	q_{RA}	q_{LA}	n _k	N _{MS,90,j}	C _{K,j}	C _{M,i}	C _j	
Nr.	SG	[Kfz/h]	[Kfz/h]	[Kfz/h]	[Kfz/h]	[Kfz]	[Kfz]	[Kfz/h]	[Kfz/h]	[Kfz/h]	
11	K1	104	0		104		5,907		179		
21	K3	625	625	0			28,450		710		
22	K2	467			467		17,672			622	
31	K6	1	0	0	1		0,278		76		
41	K5	58		58			2,130			866	
42	K4	445	445				14,585			717	
43	K7	1			1		0,212			356	

AMPEL Version 6.2.6

Formblatt 3		Knotenpunkt mit Lichtsignalanlage								
		Berechnung der Verkehrsqualitäten								
Projekt: Leistungsfähigkeit von Knotenpunkten an der B 299 (1978) Stadt:										
Knotenpunkt: B 299 / B 299a (zur A 3), Bestehendes System Datum: 21.09.2020										
	Zeitabschnitt: Nachmittägliche Spitzenstunde Bearbeiter:									
Kfz-Verkel	nrsströme -	Verkehrsqua	alitäten (fahr	streifenbezo	gen)					
Nr.	Bez.	Ströme	q _j	x_j	$f_{A,j}$	$N_{GE,j}$	$N_{MS,j}$	L _{90,j}	$t_{W,j}$	QSV
1 111	SG		[Kfz/h]	[-]	[-]	[Kfz]	[Kfz]	[m]	[s]	[-]
11	K1	1, 2	104	0,581	0,10	0,847	3,332	40	55,7	D
21	K3	5, 6	625	0,880	0,37	7,241	21,855	176	63,4	D
22	K2	4	467	0,751	0,32	2,215	12,653	110	40,1	С
31	K6	7, 8, 9	1	0,013	0,07	0,007	0,031	3	39,6	С
41	K5	12	58	0,067	0,47	0,040	0,838	14	13,4	Α
42	K4	11	445	0,621	0,38	1,059	10,101	92	28,1	В
43	K7	10	1	0,003	0,31	0,002	0,019	2	21,4	В
Gesamt			1701						45,5	
Fußgänge	r- /Radfahre	rfurten							<u>'</u>	
Zufahrt	Bez.	q _{Fg}	q _{Rad}	Anzahl	t _{W,max}					QSV
	SG	[Fg/h]	[Rad/h]	Furten	[s]					[-]
		Gesamtbewertung:					bewertung:	D		

Signalzeitenplan

Datei : 2020-09-17 - KP B299-B299a NachmSPH_RH_4Phasen.amp Projekt : Leistungsfähigkeit von Knotenpunkten an der B 299 (1978)

Knoten: B 299 / B 299a (zur A 3), Bestehendes System

Stunde: Nachmittägliche Spitzenstunde



